

## АТОМНАЯ И ЯДЕРНАЯ ФИЗИКА

УДК 539.172.3

## ТРАНСМУТАЦИЯ $^{90}\text{Sr}$ ПОД ДЕЙСТВИЕМ ТОРМОЗНОГО $\gamma$ -ИЗЛУЧЕНИЯ ВЫСОКОЙ ИНТЕНСИВНОСТИ

С. С. Бородина, Б. С. Ишханов, В. И. Мокеев

*(НИИЯФ)*

**Разработан метод переработки радиоактивных изотопов, основанный на использовании пучков тормозных  $\gamma$ -квантов высокой интенсивности. Развит метод описания и выполнены расчеты временной эволюции содержания и активности элементов трансмутационной цепочки  $^{90}\text{Sr}$ . Определена необходимая интенсивность тока электронов для эффективной переработки изотопа  $^{90}\text{Sr}$  при фиксированном времени облучения и энергии электронов.**

**Введение**

Разработка методов трансмутации радиоактивных отходов является актуальным направлением в решении глобальных проблем защиты окружающей среды. Создание эффективных способов снижения активности радиоактивных изотопов будет во многом влиять на дальнейший прогресс ядерной энергетики и ядерных технологий. Широкие перспективы в решении этой проблемы открывает использование пучков ускорителей высокой интенсивности. В последние годы ведутся исследования по применению реакций *spallation* для трансмутации изотопов - продуктов деления [1]. В этом методе при облучении тяжелых ядер ( $A > 200$ ) протонаами с энергией около 1 ГэВ формируются интенсивные потоки нейтронов ( $10^{14}$ – $10^{15}$  нейтр. $\cdot$ с $^{-1}$  $\cdot$ см $^{-2}$ ), которые используются для трансмутации изотопов. Однако использование реакций *spallation* имеет ряд ограничений. Сечения захвата тепловых нейтронов долгоживущими изотопами-продуктами деления  $^{90}\text{Sr}$  и  $^{137}\text{Cs}$  ( $T_{1/2} = 30$  лет) малы — около 1 мб, и реакции под действием нейтронов не обеспечивают их эффективной переработки.

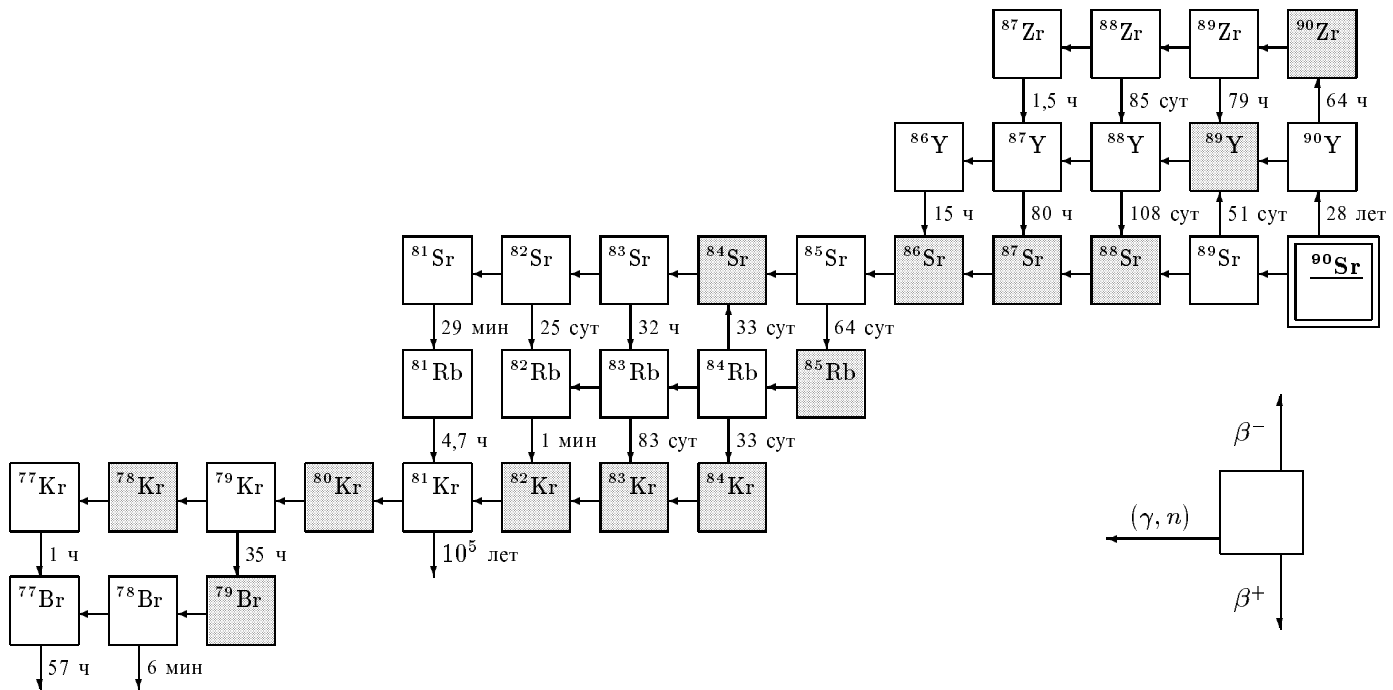
Представляет интерес исследование возможности использования других частиц для трансмутации изотопов с малыми сечениями нейтронного захвата, в частности пучков тормозного  $\gamma$ -излучения, верхняя граница энергии которых ниже порога рождения мезонов. В этой области энергий основным механизмом взаимодействия  $\gamma$ -квантов с тяжелыми изотопами ( $A > 60$ ), содержащимися в трансмутационных цепочках, являются  $(\gamma, n)$ -реакции, протекающие через возбуждение дипольного гигантского резонанса (ДГР). Интегральные сечения фотонейтронных реакций на порядок величины превосходят характерные сечения захвата тепловых нейтронов изотопами  $^{90}\text{Sr}$  и  $^{137}\text{Cs}$ . Таким образом, использование пучков тормозного  $\gamma$ -излучения открывает новые возможности в решении задач трансмутации. Первые расчеты временной эволюции трансмутационных цепочек  $^{90}\text{Sr}$  и  $^{137}\text{Cs}$  были выполнены в работе [2]. Однако в этой работе не изложены методы оценки сечений  $(\gamma, n)$ -реакций на ядрах, для которых эксперименталь-

ные данные отсутствуют, хотя подобная ситуация имеет место для большинства элементов трансмутационных цепочек. Также отсутствует информация и об использованном в расчетах спектре тормозного  $\gamma$ -излучения, что затрудняет применение предложенного в работе [2] подхода.

В настоящей работе развит метод описания и выполнены расчеты временной эволюции содержания и активности элементов трансмутационной цепочки  $^{90}\text{Sr}$ . Метод использует феноменологическую модель [3] описания сечений фотонейтронных реакций. Форма спектра фотонов получена путем моделирования процессов формирования тормозного излучения в мишени конечной толщины с применением библиотеки GEANT [4–6]. Развитый метод позволяет описывать трансмутацию изотопов, цепочки которых содержат элементы с  $A > 60$  для верхней границы тормозного  $\gamma$ -спектра  $E_m$ , лежащей ниже порога рождения мезонов.

**Описание метода**

Временная эволюция содержания и активности элементов трансмутационной цепочки определяется конкуренцией процессов их распада и накопления. Распад изотопов определяется как  $\beta$ -переходами, так и процессами фоторасщепления. Накопление происходит как за счет  $(\gamma, n)$ -реакций, так и в результате радиоактивных распадов соседних ядер, приводящих к образованию рассматриваемого изотопа. Использованная в расчетах трансмутационная цепочка  $^{90}\text{Sr}$  показана на рис. 1. Помимо исходного изотопа она включает радиоактивные элементы с различными периодами полураспада — от 1 мин ( $^{82}\text{Rb}$ ) до  $10^5$  лет ( $^{81}\text{Kr}$ ) и стабильные элементы — продукты распада. В состав трансмутационной цепочки включено 34 элемента. Темным цветом выделены стабильные изотопы. Вертикальными стрелками обозначены  $\beta^\pm$ -переходы, горизонтальными —  $(\gamma, n)$ -реакции. Реакции с испусканием протонов ( $\gamma, p$ ), а также нескольких частиц не учитывались: оценки показывают, что вклад таких реакций в полное сечение фоторасщепления изотопов трансмутационной цепочки  $^{90}\text{Sr}$  не превышает 10% вклада  $(\gamma, n)$ -канала.

Рис. 1. Трансмутационная цепочка  $^{90}\text{Sr}$ 

Временная эволюция содержания  $j$ -го изотопа трансмутационной цепочки  $N_j(t)$  и его активности  $A_j(t)$  описывается соотношениями

$$\frac{dN_j(t)}{dt} = -(\lambda_j + \Phi\sigma_j)N_j(t) + \sum_{i \neq j} (\lambda_{ij} + \Phi\sigma_{ij})N_i(t), \quad (1)$$

$$A_j(t) = \lambda_j N_j(t), \quad (2)$$

где  $N_j(t)$  и  $A_j(t)$  — соответственно содержание и активность  $j$ -го элемента трансмутационной цепочки в момент времени  $t$ ,  $\lambda_j$  — постоянная  $\beta$ -распада  $j$ -го изотопа,  $\lambda_{ij}$  — постоянная  $\beta$ -распада изотопа  $i$  с образованием в конечном состоянии изотопа  $j$ ,  $\Phi$  — усредненная по углу эмиссии плотность потока тормозных фотонов [ $\text{фотон} \cdot \text{с}^{-1} \cdot \text{см}^{-2}$ ],  $\sigma_j$  — взвешенное по тормозному спектру интегральное сечение фоторасщепления изотопа  $j$ ,  $\sigma_{ij}$  — взвешенное по тормозному спектру интегральное сечение фоторасщепления изотопа  $i$  с образованием в конечном состоянии изотопа  $j$ , где

$$\sigma_{j(ij)} = \int_{E_{\min}}^{E_m} \sigma_{j(ij)}(E_\gamma) \frac{W(E_\gamma, E_{\gamma m}) dE_\gamma}{\int_{E_{\min}}^{E_m} W(E_\gamma, E_{\gamma m}) dE_\gamma},$$

выражение  $\frac{W(E_\gamma, E_{\gamma m}) dE_\gamma}{\int_{E_{\min}}^{E_m} W(E_\gamma, E_{\gamma m}) dE_\gamma}$  описывает форму тормозного спектра фотонов, нормированного на один  $\gamma$ -квант ( $\sigma_{j(ij)}(E_\gamma)$  — сечение  $(\gamma, n)$ -реакции [ $\text{см}^2$ ] на  $j$ -м ( $i$ -м) изотопе при энергии фотона  $E_\gamma$ ).

Первое слагаемое в (1) описывает разрушение  $j$ -го изотопа в процессах  $\beta$ -распада и фоторасщепления. Второе слагаемое отвечает накоплению  $j$ -го изотопа в

$\beta$ -распадах соседних ( $i$ -х) ядер и в  $(\gamma, n)$ -реакциях на изотопе с массовым числом  $A+1$ .

Постоянные  $\beta$ -распадов  $\lambda_j$  и  $\lambda_{ij}$  взяты из работы [5]. Сечения фотонейтронных реакций  $\sigma_{j(ij)}(E_\gamma)$  вычислялись в рамках феноменологической модели [3]. Верхний  $m$  и нижний  $\min$  пределы интегрирования в (1) отвечают максимальной и минимальной энергии фотонов тормозного спектра, вносящих вклад в эмиссию фотонейтронов. Величина  $E_{\min}$  выбрана равной величине порога  $(\gamma, n)$ -реакции на ядрах с  $A > 60$  (5 МэВ). Величина  $E_m$  полагалась равной 30 МэВ, так как вклад в интегральные сечения  $(\gamma, n)$ -реакций фотонов с энергиями больше 30 МэВ не превышает нескольких процентов.

Спектр  $\gamma$ -квантов получен в результате компьютерного моделирования методом Монте-Карло процессов образования тормозного излучения в мишени из вольфрама толщиной 0,2 см с использованием программной библиотеки GEANT3.21 (CERN) [6]. Определялось число тормозных фотонов  $N(\gamma, m)$ , испущенных под углами до  $40^\circ$  в интервале энергий от 5 до 30 МэВ с шагом 0,25 МэВ. Величина  $N(\gamma, m)$  связана с формой спектра тормозного излучения  $W(\gamma, m)$  соотношением

$$\frac{W(E_\gamma, E_m) dE_\gamma}{\int_{E_{\min}}^{E_m} W(E_\gamma, E_m) dE_\gamma} = \frac{N(E_\gamma, E_m)}{\sum_{E_\gamma=E_{\min}}^{E_\gamma=E_m} N(E_\gamma, E_m)}. \quad (3)$$

Плотность потока фотонов с энергией от 5 до 30 МэВ  $\Phi[\text{фотон} \cdot \text{с}^{-1} \cdot \text{см}^{-2}]$  связана с током электронов соотношением

$$\Phi = \frac{6,25 \cdot 10^{18} I}{S} \cdot \frac{\sum_{E_\gamma=E_{\min}}^{E_\gamma=E_m} N(E_\gamma, E_m)}{N_{\text{tot}}}, \quad (4)$$

где  $N_{\text{tot}}$  — число промоделированных электронов,  $I$  — ток электронов в амперах,  $S$  — площадь мишени, облучаемая фотонами (в  $\text{см}^2$ ). Уравнения (1) интегрировались численно с использованием модуля MERSON программной библиотеки CERN.

### Обсуждение полученных результатов

В рамках описанного метода выполнены расчеты временной эволюции содержания и активности изотопов трансмутационной цепочки  ${}^{90}\text{Sr}$  при токах электронов в интервале от 0,1 до 10 А и верхних границах тормозного излучения 30 и 60 МэВ. Время облучения менялось от 1 до 10 месяцев.

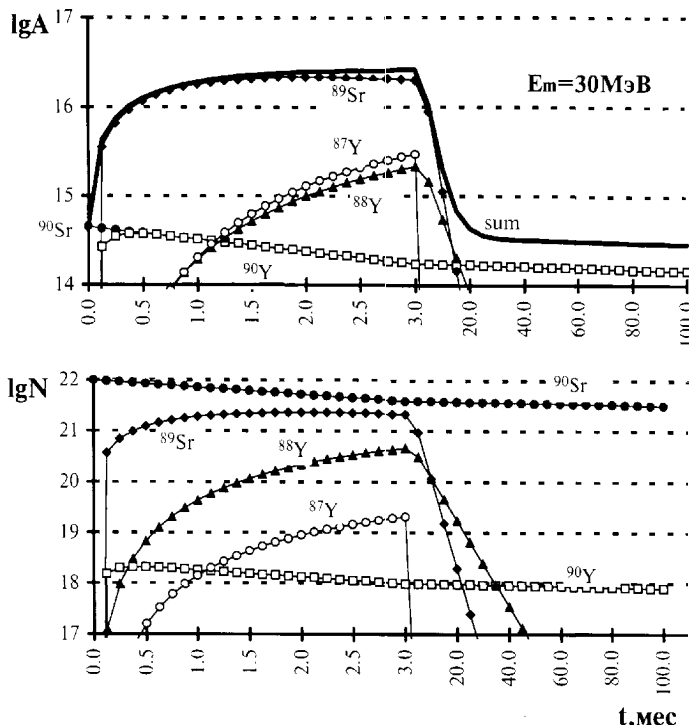


Рис. 2. Временная эволюция активности  $A$  и содержания  $N$  радиоактивных элементов трансмутационной цепочки  ${}^{90}\text{Sr}$ . Время облучения 3 месяца, ток электронов 1 А

На рис. 2 показаны результаты расчетов содержания и активности изотопов трансмутационной цепочки  ${}^{90}\text{Sr}$  для  $E_m = 30$  МэВ, времени облучения 3 месяца при токе электронов 1 А. В начальный момент времени ( $t = 0$ ) в рассматриваемом образце содержалось  $10^{22}$  ядер. Как следует из представленных на рис. 2 данных, при включении пучка происходит возрастание величины суммарной активности (жирная линия) примерно на два порядка. Этот эффект обусловлен тем, что в  $(\gamma, n)$ -реакциях и последующем  $\beta$ -распаде ядер-продуктов образуются изотопы со сравнительно малыми временами жизни. Полученный в расчетах большой рост активности указывает на возможность использования пучков тормозных фотонов для формирования радиоактивных источников высокой интенсивности. Наблюдается выгорание изотопа  ${}^{90}\text{Sr}$ , вносящего основной вклад в долгоживущую компоненту активности.

После выключения пучка электронов эволюция смеся изотопов определяется лишь процессами их  $\beta$ -распада. Активность короткоживущих изотопов уменьшается и начиная с некоторого момента времени, зависящего от тока электронов и продолжительности облучения, суммарная активность определяется лишь сохранившейся частью  ${}^{90}\text{Sr}$  и образующимся  ${}^{90}\text{Y}$ . Эта величина может рассматриваться как конечная активность, достигнутая при трансмутации.

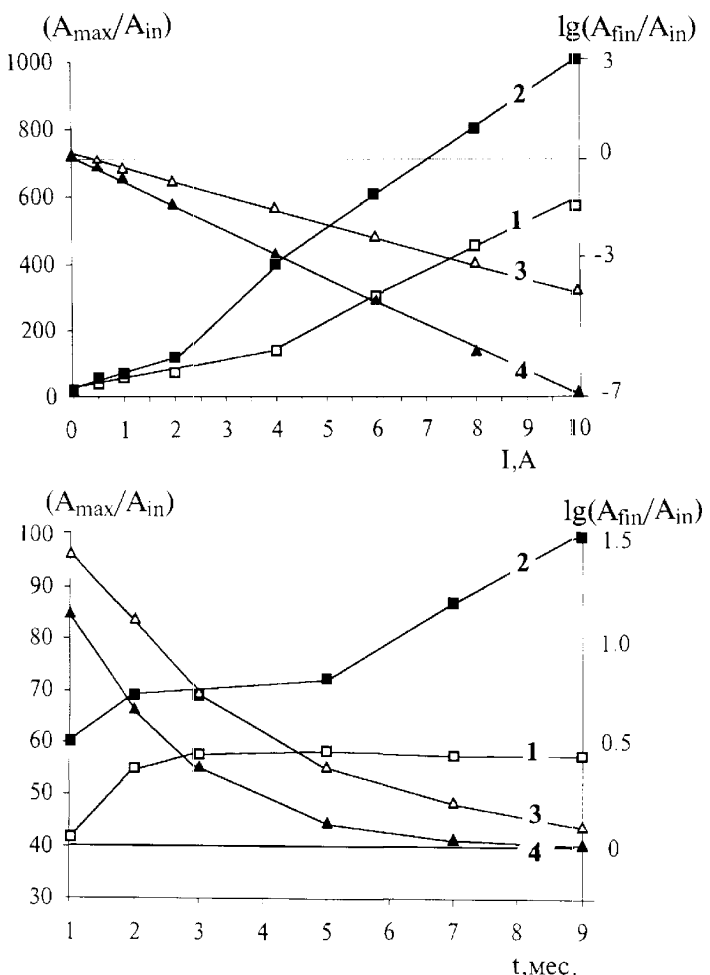


Рис. 3. Зависимость отношений  $A_{\text{max}}/A_{\text{in}}$  (1, 2) и  $A_{\text{fin}}/A_{\text{in}}$  (3, 4) от тока электронов  $I$  и времени облучения  $t$  для верхних границ спектра  $E_m = 30$  (1, 3) и 60 МэВ (2, 4)

Количественно эффективность трансмутации может описываться отношением конечной активности ( $A_{\text{fin}}$ ) к начальной ( $A_{\text{in}}$ ). При исследовании возможностей создания радиоактивных источников высокой интенсивности представляет интерес также отношение максимальной активности, достигнутой при облучении,  $A_{\text{max}}$ , к начальной  $A_{\text{in}}$ . На рис. 3 приведены отношения  $A_{\text{fin}}/A_{\text{in}}$  и  $A_{\text{max}}/A_{\text{in}}$  в зависимости от тока электронов при постоянном времени облучения (3 месяца) и в зависимости от времени облучения при постоянном токе электронов (1 А). Как следует из представленных данных, отношение  $A_{\text{fin}}/A_{\text{in}}$  уменьшается, а отношение

$A_{\max}/A_{\text{in}}$  резко возрастает при токе электронов более 2 А. При меньших значениях отношение  $A_{\max}/A_{\text{in}}$  слабо зависит от токов. Это связано с тем что плотность потока тормозных фотонов при токе электронов менее 1 А недостаточна для оказания заметного влияния на процессы трансмутации и времененная эволюция изотопов определяется их  $\beta$ -распадами. Таким образом, для эффективной трансмутации  $^{90}\text{Sr}$ , так же как и для формирования радиоактивных источников большой интенсивности, необходимо, чтобы непрерывный ток электронов был не менее 1 А.

Наблюдается увеличение эффективности трансмутации с ростом верхней границы спектра тормозного излучения. Оно обусловлено увеличением числа тормозных фотонов в области энергий 5–30 МэВ. Как видно из рис. 2, эффективность трансмутации возрастает с увеличением времени облучения, однако для верхней границы тормозного спектра 30 МэВ при токе электронов 1 А уже через 3–5 месяцев достигается максимально возможная эффективность трансмутации  $^{90}\text{Sr}$ .

Качественно иное поведение временной зависимости отношения  $A_{\max}/A_{\text{in}}$  наблюдается при верхней границе тормозного спектра 60 МэВ и времени облучения более 5 месяцев. Величина отношения  $A_{\max}/A_{\text{in}}$  сильно возрастает с увеличением времени облучения. Это связано с накоплением короткоживущих изотопов со сравнительно небольшими периодами полураспада.

## Заключение

Развитый метод описания процессов трансмутации радиоактивных изотопов под действием пучка тормозного  $\gamma$ -излучения может использоваться для моделирования трансмутации цепочек, содержащих элементы с массовыми числами  $A > 60$ , при верхних границах тормозного спектра, лежащих ниже порога рождения мезонов. Показано, что для эффективной трансмутации изотопа  $^{90}\text{Sr}$  необходимы непрерывные токи электронов не менее нескольких ампер. Пучки тормозного  $\gamma$ -излучения могут быть использованы для формирования радиоактивных источников высокой интенсивности.

## Литература

1. Bowman C.D. // Second Intern. Conf. on Accelerator-Driven Transmutation Technologies and Application, 3–7 June 1996. Kalmar, Sweden. P. 1.
2. Matsumoto T. // Nucl. Instr. and Meth. in Phys. Res. 1988. A268. P. 234.
3. Бородина С.С., Ишханов Б.С., Мокеев В.И. // Вестн. Моск. ун-та. Физ. Астрон. 1997. № 2. С. 6 (Moscow University Phys. Bull. 1997. No. 2.).
4. Бородина С.С., Ишханов Б.С., Капитонов И.М. и др. Препринт НИИЯФ МГУ № 96-28/435. М., 1996.
5. Tuli J.K., Nuclear Wallet Cards. July 1995. National Nuclear Data Center. Brookhaven National Laboratory, USA.
6. Brun R., Bruyant F., Maire M., McPherson A.C., Zanarini P. GEANT, CERN, September 1987.

Поступила в редакцию  
07.04.97